

Non-homogeneous Poisson process

FK

original June 2014
revised August 2025

1 Úvod

Dichotomický proces $Q(t)$ je proces, kde náhodná proměnná může nabývat dvou hodnot. Stavy označme E_1 a E_2 . Pravděpodobnost, že se proces $Q(t)$ nachází v čase t ve stavu E_1 nebo E_2 , popisují funkce $p_1(t)$, $p_2(t)$. Výskyt přechodů v čase mezi stavy E_1 a E_2 a naopak popisuje Poissonův proces. V případě homogenního procesu je hustota pravděpodobnosti doby do události, čili přechodu mezi stavy, popsána funkcemi

$$\begin{aligned}f_\lambda(t) &= \lambda e^{-\lambda t} \\f_\mu(t) &= \mu e^{-\mu t}\end{aligned}$$

kde λ a μ jsou tzv. rychlostní konstanty. Zde se však jedná o časově nehomogenní proces, a proto mluvíme obecně o intenzitách Poissonova procesu $\lambda(t)$ a $\mu(t)$. Hustota doby do dalšího přechodu se v takovém případě zřejmě v čase mění.

$$\begin{aligned}f_\lambda(t) &= \lambda(t) e^{-\int \lambda(t') dt'} \\f_\mu(t) &= \mu(t) e^{-\int \mu(t') dt'}\end{aligned}$$

V dalším případném zobecnění mohou být i samotné intenzity náhodnými proměnnými.

2 Analytické řešení

Obecné řešení

Vyjdeme z Pauliho řídicí rovnice, která nám dává soustavu dvou lineárních obyčejných diferenciálních rovnic 1. řádu s nekonstantními koeficienty:

$$\frac{d}{dt}p_1(t) = -\lambda(t)p_1(t) + \mu(t)p_2(t) \quad (1)$$

$$\frac{d}{dt}p_2(t) = +\lambda(t)p_1(t) - \mu(t)p_2(t). \quad (2)$$

Pomocí normovací podmínky pravděpodobnosti

$$1 = p_1(t) + p_2(t) \quad (3)$$

upravíme soustavu na tvar:

$$\frac{d}{dt}p_1(t) + [\lambda(t) + \mu(t)]p_1(t) = \mu(t) \quad (4)$$

$$\frac{d}{dt}p_2(t) + [\lambda(t) + \mu(t)]p_2(t) = \lambda(t). \quad (5)$$

Vztah (3) nám také dovolí zavést veličinu $y(t)$

$$y(t) = p_1(t) - p_2(t), \quad (6)$$

kteřá bude jednoznačně popisovat průběh pravděpodobností $p_1(t)$ a $p_2(t)$. Dále zavedeme označení:

$$\xi(t) = \mu(t) + \lambda(t) \quad (7)$$

$$\eta(t) = \mu(t) - \lambda(t). \quad (8)$$

Rozdíl rovnic (4) a (5) přejde použitím těchto vztahů na tvar:

$$\frac{d}{dt}y(t) + \xi(t)y(t) = \eta(t). \quad (9)$$

Řešením této diferenciální rovnice dostaneme obecně vyjádřenou funkci $y(t)$

$$y(t) = \frac{1}{\phi(t)} \int \eta(t) \phi(t) dt. \quad (10)$$

kde

$$\phi(t) = e^{\int \xi(t) dt}. \quad (11)$$

V průběhu integrace (10) je nutné pamatovat na integrační konstantu c . Integrační konstanta z (11) se zkrátí nebo absorbuje do c (změnou označení).

Konstantní intenzity

První vyřešíme jednodušší model s konstantními intenzitami (homogenní proces).

$$\lambda = \text{const.} \quad (12)$$

$$\mu = \text{const.} \quad (13)$$

$$y(t) = \frac{\eta}{\xi} + c e^{-\xi t} = \frac{\mu - \lambda}{\mu + \lambda} + c e^{-(\mu + \lambda)t} \quad (14)$$

Vidíme, že řešení se v čase blíží ke stacionárnímu bodu. Systém zapomíná svůj počáteční stav daný integrační konstantou c exponenciálně s rychlostí odpovídající intenzitě přechdů mezi oběma stavy.

Exponenciální intenzity

Zvolme exponenciální časové průběhy intenzit Poissonova procesu $\lambda(t)$ a $\mu(t)$. Pro jednoduchost volíme v obou exponenciálách stejný parametr a . Kdybychom zvolili různá čísla $a \neq b$, nemohli bychom analytické řešení vyjádřit explicitně pomocí elementárních funkcí

$$\lambda(t) = \nu e^{-at} \quad (15)$$

$$\mu(t) = \nu (1 - e^{-at}). \quad (16)$$

Dosazením do (10) dostáváme explicitní analytické řešení úlohy pro tyto $\lambda(t)$ a $\mu(t)$.

$$y(t) = 1 - \frac{2\nu}{\nu - a} e^{-at} + c e^{-\nu t} \quad (17)$$

c je integrační konstanta, která závisí na počáteční podmínce $y(0)$

$$y(0) = 1 : \quad c = \frac{2\nu}{\nu - a} \quad (18)$$

$$y(0) = 0 : \quad c = \frac{\nu + a}{\nu - a} \quad (19)$$

$$y(0) = -1 : \quad c = \frac{2a}{\nu - a}. \quad (20)$$

Výše uvedené řešení nemá smysl v případě rovnosti $a = \nu$, přestože není důvod, aby proces s takovými parametry neexistoval. Tehdy má řešení tvar

$$y(t) = 1 - 2at e^{-at} + c e^{-at} \quad (21)$$

a pro c platí

$$y(0) = 1 : \quad c = 0 \quad (22)$$

$$y(0) = 0 : \quad c = -1 \quad (23)$$

$$y(0) = -1 : \quad c = -2. \quad (24)$$

Harmonické intenzity

Tentokrát volíme harmonické průběhy intenzit přeskoků $\lambda(t)$ a $\mu(t)$

$$\lambda(t) = \nu \sin^2(\omega t) \quad (25)$$

$$\mu(t) = \nu \cos^2(\omega t). \quad (26)$$

Řešením je pak funkce

$$y(t) = \frac{1}{1 + \frac{4\omega^2}{\nu^2}} \left(\cos(2\omega t) + \frac{2\omega}{\nu} \sin(2\omega t) + c e^{-\nu t} \right) \quad (27)$$

a pro c tentokrát platí

$$y(0) = 1 : \quad c = \frac{4\omega^2}{\nu^2} \quad (28)$$

$$y(0) = 0 : \quad c = -1 \quad (29)$$

$$y(0) = -1 : \quad c = -2 - \frac{4\omega^2}{\nu^2}. \quad (30)$$

3 Simulace

Základní algoritmus

Časové okamžiky, ve kterých dochází ke změně stavu, simulujeme následujícím způsobem. V daném čase t_0 generujeme náhodnou proměnnou X s uniformním rozdělením pravděpodobnosti na intervalu $[0,1)$. Pak hledáme takový čas t , kterému odpovídá funkční hodnota kumulativní distribuční funkce $F(t_0, t)$ v čase t_0 , která se rovná generovanému číslu X . Distribuční funkce má tvar

$$F_\lambda(t_0, t) = 1 - e^{-\int_{t_0}^t \lambda(t') dt'} \quad (31)$$

pro přechody ze stavu E_1 do stavu E_2 , resp.

$$F_\mu(t_0, t) = 1 - e^{-\int_{t_0}^t \mu(t') dt'} \quad (32)$$

a zřejmě se tak její průběh s časem t_0 vyvíjí. Základní algoritmus tedy vypadá následovně:

1. inicializace.
2. generuj náhodné číslo X .
3. vyřeš implicitní rovnici pro t :

$$X = F(t_0, t) \quad (33)$$

4. udělej krok: $t_0 = t$, přehod' stav náhodné proměnné Q .
5. pokračuj bodem 2.

Tak získáme jednu trajektorii nehomogenního dichotomického procesu. Pro porovnání s analytickými výsledky budeme potřebovat statisticky zpracovat velký počet trajektorií.

Časový krok

V případě intenzity $\lambda(t) = \nu e^{-at}$ má distribuční funkce tvar

$$F_\lambda(t_0, t) = 1 - e^{\frac{\nu}{a}(e^{-at} - e^{-at_0})} \quad (34)$$

a inverzní funkci můžeme vyjádřit explicitně

$$t = F_\lambda^{-1}(t_0, X) = -\frac{1}{a} \log \left(\frac{a}{\nu} \log(1 - X) + e^{-at_0} \right). \quad (35)$$

V případě, že argument vnějšího logaritmu není kladné číslo, bereme za výsledek $t = \infty$, tj. libovolný čas za koncovým časem simulace. Naproti tomu pro $\mu(t) = \nu (1 - e^{-at})$ a příslušnou distribuční funkci

$$F_\mu(t_0, t) = 1 - e^{-\nu(t-t_0) - \frac{\nu}{a}(e^{-at} - e^{-at_0})} \quad (36)$$

již rovnici (33) pro t řešit explicitně neumíme. Použitím Newtonova algoritmu tedy numericky řešíme transcendentní rovnici

$$0 = at + e^{-at} - at_0 - e^{-at_0} + \frac{a}{\nu} \log(1 - X). \quad (37)$$

Ani v případě harmonických intenzit $\lambda(t) = \nu \sin^2(\omega t)$, $\mu(t) = \nu \cos^2(\omega t)$ nemůžeme k distribuční funkci

$$F_{\lambda, \mu}(t_0, t) = 1 - e^{-\frac{\nu}{2}[t - t_0 \mp \frac{1}{2\omega}(\sin 2\omega t - \sin 2\omega t_0)]} \quad (38)$$

vyjádřit inverzi explicitně.

$$0 = \left(t \mp \frac{1}{2\omega} \sin 2\omega t\right) - \left(t_0 \mp \frac{1}{2\omega} \sin 2\omega t_0\right) + \frac{2}{\nu} \log(1 - X) \quad (39)$$

Vzhledem ke tvaru funkce na pravé straně (nulová derivace v periodicky se vyskytujících bodech) hledáme její kořeny tentokrát metodou bisekce intervalu.

Funkce $F_{\lambda, \mu}(t_0, t)$ jsou vyneseny v grafech na obr. 1 a 1. Vybrané simulované trajektorie se nachází na obr. 3 a 4.

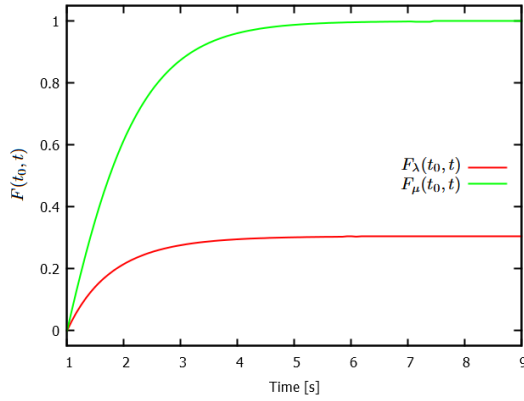


Figure 1: Kumulativní distribuční funkce, exponenciální závislosti, $t_0 = 1$ s.

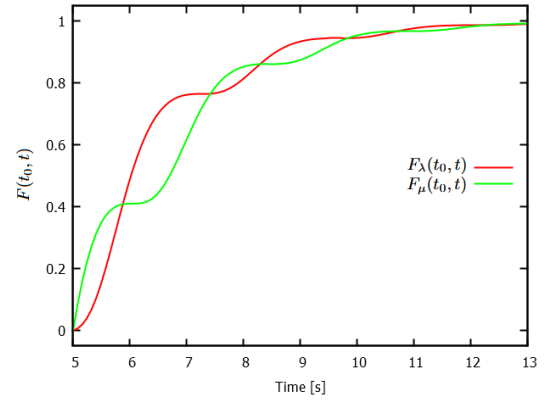


Figure 2: Kumulativní distribuční funkce, harmonické závislosti, $t_0 = 5$ s.

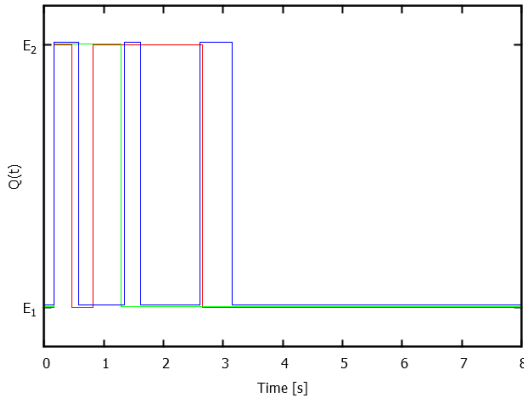


Figure 3: 3 vybrané trajektorie, exponenciální závislosti, poč. podm. $y(0) = 1$

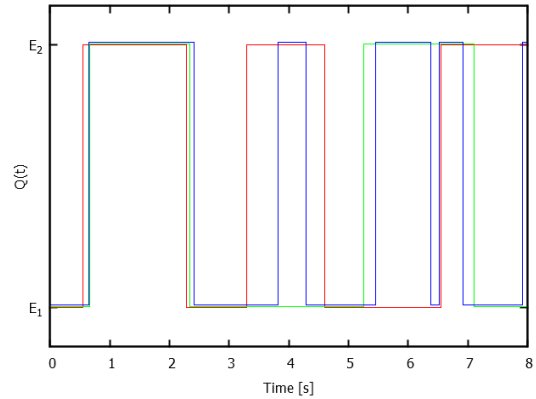


Figure 4: 3 vybrané trajektorie, harmonické závislosti, poč. podm. $y(0) = 1$

4 Diskuze a závěr

Srovnání výsledků

Analytická řešení a výsledky simulací srovnávají obrázky 5 a 6. Číselné nastavení parametrů exponenciálních koeficientů jsme volili

$$a = 1, 1 \quad (40)$$

$$\nu = 1, 2 \quad (41)$$

Simulaci jsme prováděli v časovém intervalu od 0 do 8 jednotek. Simulovali jsme milion trajektorií pro každou ze tří počátečních podmínek. Počáteční podmínka $y(0) = 0$ odpovídá počátečním podmínkám s hodnotami 1 a -1, každé v polovině pokusů.

Harmonické koeficienty jsme nastavili pomocí parametrů

$$\omega = 1, 3 \quad (42)$$

$$\nu = 1, 2 \quad (43)$$

a dále byla simulace stejná.

V obou případech exponenciálních i harmonických koeficientů se simulace shoduje s analytickým řešením pro $y(t)$ (a tedy pravděpodobnosti $p_1(t)$ a $p_2(t)$) velmi dobře.

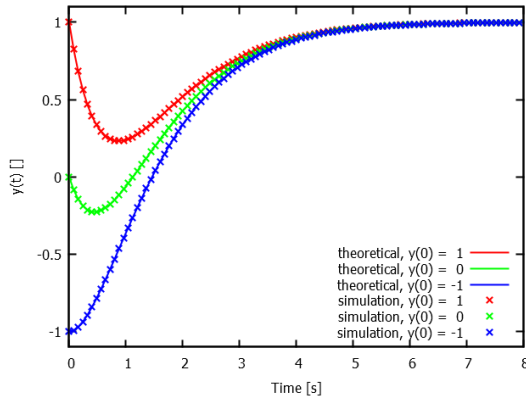


Figure 5: Analytické a simulované výsledky, exponenciální závislosti.

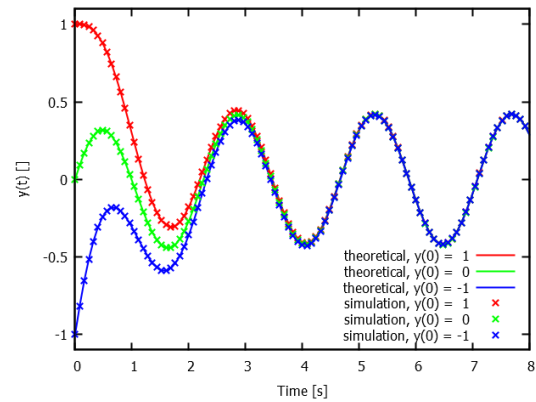


Figure 6: Analytické a simulované výsledky, harmonické závislosti.

Závěr

Ověřili jsme, že výsledky Monte Carlo simulace se shodují s analyticky vypočtenou předpovědí pravděpodobností, kterou bylo možné explicitně vypočítat pro zvolené funkce $\lambda(t)$, $\mu(t)$. Kdybychom však parametry volili jinak (např. méně symetricky, kdy $\lambda(t) + \mu(t) \neq \nu$), nebylo by možné explicitní analytické řešení získat. Na druhou stranu simulace není na volbě parametrů nikterak závislá. Bez dalších úprav ji bude možné aplikovat pro libovolné hodnoty parametrů.